

УДК 539.27:539.194

СТРУКТУРА АДДУКТОВ МЕЖМОЛЕКУЛЯРНОГО ВЗАИМОДЕЙСТВИЯ  
ДИМЕТИЛПИРАЗОЛА И ДИФЕНИЛФОРМАМИДИНА  
С ГАЛОИДОВОДОРОДАМИ В РАСТВОРЕ

© 2012 С.Ф. Бурейко\*, С.Ю. Кучеров

*Физический факультет Санкт-Петербургского государственного университета*

*Статья поступила 18 марта 2011 г.*

По данным ИК спектров поглощения и квантово-химических расчетов определено строение аддуктов, образующихся в растворе при взаимодействии бифункциональных азосоединений диметилпирацола (ДМП) и дифенилформамидина (ДФФА) с галоидо-водородами HF, HCl и HBr. Показано, что при взаимодействии с донорами протона HCl либо HBr имеет место переход протона по водородной связи к основному атому N азосоединения с образованием ионной пары  $\text{NH}^+ \dots \text{Hal}^-$ ; для структуры ДМП–HF убедительных доказательств перехода протона и образования анион-катионной пары не обнаружено и превалирующей структурой являются комплексы с молекулярной водородной связью N...HF. Рассчитаны геометрические параметры образующихся структур. При увеличении концентрации азотного основания в растворе экспериментально доказано образование тримеров, содержащих две молекулы азосоединения и одну молекулу HHal, и определена их структура.

**Ключевые слова:** структура молекулярных и ионных комплексов, водородная связь, переход протона, растворы, ИК спектроскопия, квантово-химические расчеты.

**ВВЕДЕНИЕ**

Изучение бифункциональных азотсодержащих оснований, характеризующихся наличием в молекуле основного атома азота, обладающего сильными протонакцепторными свойствами при образовании комплексов с водородной связью (Н-связью) и одновременно протонодонорных групп NH, представляет существенный интерес как с точки зрения фундаментальных проблем образования ассоциатов с Н-связями, так и для ряда актуальных прикладных вопросов, так как подобные соединения имеют практическое значение, являясь структурными блоками во многих веществах, используемых в биохимических и фармацевтических процессах (см., например, [1—3]). Наличие в молекуле нескольких различных активных центров позволяет исследовать разнообразные типы молекулярных и ионных структур с водородными мостиками и специфику их спектральных характеристик в ИК спектрах поглощения.

В качестве объектов исследования в настоящей работе выбраны аддукты взаимодействия диметилпирацола (ДМП) и дифенилформамидина (ДФФА) с галоидоводородами HF, HCl и HBr в растворе. Вследствие бифункциональности подобных азосоединений основное внимание в предшествующих работах обращалось на образование ими циклических замкнутых комплексов с двумя (или более) Н-связями [4—9]. В исследованиях взаимодействия выбранных молекул с карбоновыми кислотами HCOOH, CH<sub>3</sub>COOH и CH<sub>2</sub>ClCOOH было доказано образование циклических водородно-связанных комплексов с Н-связями OH...N и C=O...HN, тогда как при образовании в растворе комплексов с более сильными кислотами (CHCl<sub>2</sub>COOH, CCl<sub>3</sub>COOH

\* E-mail: boureiko@paloma.spbu.ru

и  $\text{CF}_3\text{COOH}$ ) показана возможность перехода протона в комплексе с образованием водородно-связанных ионных пар [ 4, 6, 8, 10 ].

Межмолекулярные взаимодействия с образованием открытых комплексов молекулярного и ионного типа с одной Н-связью, где в качестве доноров протона выступают галоидоводороды, рассматривались существенно реже. С использованием методов ИК, ЯМР и масс-спектроскопии в [ 11 ] в растворе было изучено строение комплексов  $L_n\text{ZnX}_2$ , где L — производные пиразола, а X — атомы Br или Cl, и показано наличие ассоциатов типа димера, тримера и тетрамера. В [ 4 ] по ИК спектрам поглощения было исследовано образование твердых аддуктов 1:1 ДМП+HCl и предположена их ионная структура. Ассоциаты, содержащие более чем две молекулы, были зарегистрированы также в [ 12 ], где с помощью спектроскопии ЯМР и квантово-химических расчетов установлено существование комплексов производных пиразола с HCl состава 1:1 и 2:1. В работе [ 13 ] с помощью рентгенографических данных и расчетов *ab initio* авторами было показано, что комплексы соли 3-метил-5-фенилпиразола с HCl и HBr имеют структуру, состоящую из двух молекул пиразола и двух молекул галоидоводорода, причем при замене хлора на бром расстояние между галогенами в молекуле увеличивается. Квантово-химические расчеты методом DFT с учетом ангармоничности колебаний [ 10 ] для соли ДМП—HBr свидетельствуют в пользу образования водородно-связанных ионных пар с переходом протона от галоидоводорода к основному атому азота.

В настоящей работе выполнен анализ ИК спектроскопических характеристик растворов солей ДМП и ДФФА с галоидоводородами HBr, HCl, HF и проведены квантово-химические расчеты спектроскопических и геометрических характеристик образующихся структур. Основной целью исследования было определение структуры аддуктов и характера связи (молекулярные комплексы либо связанные Н-связью ионные пары) в них.

### ЭКСПЕРИМЕНТАЛЬНАЯ ТЕХНИКА И МЕТОДЫ РАСЧЕТА ЭЛЕКТРОННОЙ СТРУКТУРЫ

Инфракрасные спектры растворов исследуемых систем регистрировали в области 4000—370  $\text{cm}^{-1}$  с использованием Фурье-спектрометра Bruker IFS-28 с разрешением 1,0  $\text{cm}^{-1}$ . Использовали как стандартные кюветы с длиной оптического пути от 0,125 до 0,55 мм и окнами из KBr или флюорита, так и сборные кюветы с окнами из флюорита с толщиной поглощающего слоя от 0,5 до 1 мм. Исследованные молекулярные системы изучали в растворах в  $\text{CH}_2\text{Cl}_2$ ,  $\text{CHCl}_3$  либо  $\text{CCl}_4$ . Спектр растворителя вычитали из зарегистрированного спектра раствора при помощи стандартных функций программного обеспечения OPUS 2.2 Фурье-спектрометра. Температурный контроль осуществляли при помощи термопары и вольтметра с погрешностью измерения  $\pm 1^\circ$ . Коммерческие ДМП и ДФФА (Aldrich Chemical Co., Ltd) использовали без дополнительной очистки; растворители подвергали очистке традиционными методами. Соли исследованных оснований были получены путем смешивания кислоты (HCl, HF или HBr) с основанием, с последующей откачкой образовавшейся воды с помощью растворения в метаноле с использованием водного насоса, а также дополнительной осушки в эксикаторе.

Квантово-химические расчеты выполнены с использованием методов RHF, MP2 и функционала плотности DFT, реализованного в программах Gaussian-98 и Gaussian-03. В большинстве случаев использовали гибридный обменный функционал B3LYP/6-31G\*\* [ 14, 15 ] с расширенным базисным набором гауссовых функций 6-31G, дополненным *d*-орбитальями на тяжелых атомах и *p*-орбитальями на атомах водорода и диффузными функциями. Для учета влияния растворителя использованы модели Онзагера и Томаси [ 16, 17 ]. Расчеты строения и колебательных спектров комплексов проводили как в гармоническом приближении, так и с учетом ангармонических эффектов, так как хорошо известно, что колебания функциональных групп молекул в системах с Н-связями характеризуются сильной ангармоничностью. В работе были использованы различные методы учета ангармоничности при расчете колебательных частот молекул и комплексов [ 10, 18, 19 ]; наиболее близкие к экспериментальным результатам дает метод, описанный в [ 18 ], представляющий собою одну из реализаций многомерного ангармонического расчета колебательных и электрооптических параметров в пространстве нормальных

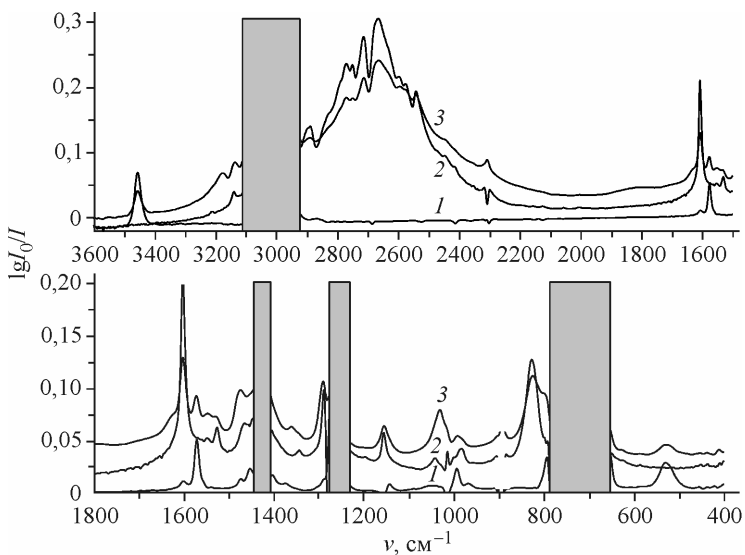


Рис. 1. ИК спектры поглощения растворов в  $\text{CH}_2\text{Cl}_2$  0,01 М ДМП (1), 0,01 М соли ДМП—HBr (2), 0,01 М соли ДМП—HBr + 0,01 М ДМП (3). Здесь и в дальнейшем заштрихованы области полного поглощения растворителя

координат  $q_i$ . Для расчета колебательных частот с учетом взаимодействия колебаний, играющего существенную роль для изученных соединений [10, 20], были вычислены двумерные поверхности потенциальной энергии  $V(q_i, q_j)$ . Двумерное уравнение Шредингера было решено вариационным методом.

### СПЕКТРОСКОПИЧЕСКОЕ ИССЛЕДОВАНИЕ ИЗУЧЕННЫХ СОЛЕЙ В РАСТВОРЕ

Характерный пример спектров системы ДМП—HBr в растворе  $\text{CH}_2\text{Cl}_2$  представлен на рис. 1. Отсутствие в спектре полосы валентных колебаний мономера ДМП  $\nu_{\text{NH}}$  в области  $3460 \text{ cm}^{-1}$  (см. рис. 1, спектр 2) показывает, что в растворе все молекулы ДМП находятся в связанным состоянии. В свою очередь, присутствие в спектрах широкой интенсивной полосы  $\nu_{\text{as}}\text{NH}^+$  катиона ДМП при  $2700 \text{ cm}^{-1}$  свидетельствует о наличии в системе ионной структуры (ДМП· $\text{NH}^+$  ... Br<sup>-</sup>). Это заключение можно также подтвердить тем, что полоса валентного колебания  $\nu_{\text{NH}}$  лежит в области  $2650 \text{ cm}^{-1}$ , при этом полоса  $\nu_{\text{NH}}^+$  смешена относительно нее в сторону высоких частот, что характерно для образования Н-связи с переходом протона; образование молекулярного комплекса не приводит обычно к такому смещению. В области деформационных колебаний (см. рис. 1, нижние спектры) проявляется ряд изменений в структуре полосы по сравнению со спектром мономера ДМП. Полоса деформационного колебания протона в группе NH сместилась в область высоких частот с  $1575$  до  $1605 \text{ cm}^{-1}$ , появляются новые полосы  $1554, 1528, 1470, 1290, 1156, 985, 828 \text{ cm}^{-1}$  и исчезает интенсивная полоса мономера  $530 \text{ cm}^{-1}$ . При увеличении концентрации ДМП в области валентных колебаний изменяется полоса  $\nu_{\text{as}}\text{NH}^+$  катиона диметилпиразола: ее интенсивность уменьшается, и она уширяется (см. рис. 1, спектр 3). Кроме того, появляется полоса мономера, что подтверждает избыточность концентрации ДМП. Изменение полосы  $2700 \text{ cm}^{-1}$ , по нашему мнению, свидетельствует о появлении в исследуемой системе нового циклического ионного комплекса состава 2:1, состоящего из двух молекул ДМП и одной молекулы HBr. В области деформационных колебаний этому соответствует появление интенсивной полосы  $1050 \text{ cm}^{-1}$ .

При взаимодействии ДФФА с HCl, как было показано в [10], при используемых концентрациях порядка 0,1 М ДФФА возможно равновесие мономера и димера ДФФА, поэтому достаточно сложно сказать определенно, структуры какого состава будут превалировать при взаимодействии с HCl. Наблюдаемые в спектральной области валентных колебаний  $\nu_{\text{NH}}$  изменения свидетельствовали в пользу образования Н-связи с переходом протона в структуре ионного типа ДФФА—HCl. Весьма характерными являются также наблюдаемые изменения в низкочастотной области спектра. Самое значительное изменение (рис. 2) наблюдается на полосе  $1705 \text{ cm}^{-1}$  (колебание группы NC=N), которая смещается в низкочастотную область до  $1695 \text{ cm}^{-1}$ .

Резюмируя приведенные данные, можно заключить, что оба основания — ДФФА и ДМП — при взаимодействии с HCl и HBr образуют ионные структуры с переходом протона и формированием анион-cationной пары.

Менее однозначные результаты были получены при изучении взаимодействия ДМП с HF. Регистрировались ИК спектры растворов системы ДМП—HF состава 1:1 в хлористом метилене

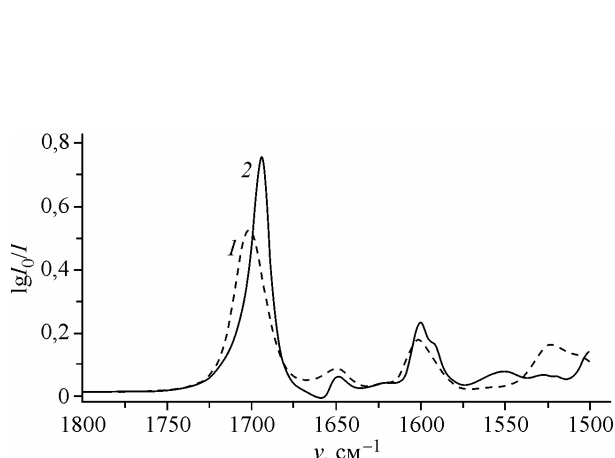


Рис. 2. ИК спектры растворов в  $\text{CH}_2\text{Cl}_2$  0,005 М ДФФА (1) и 0,1 М хлорида ДФФА (2)

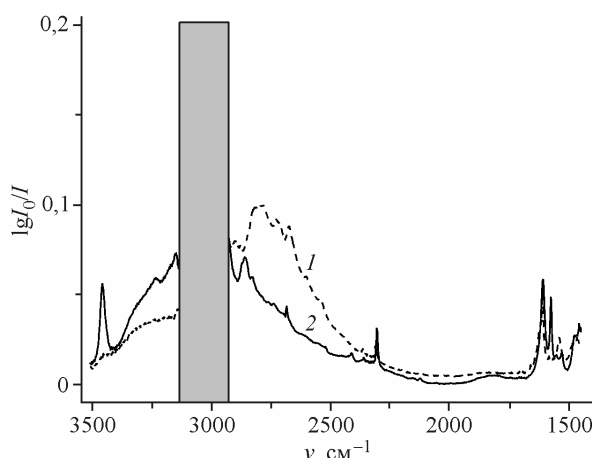


Рис. 3. ИК спектры растворов в  $\text{CH}_2\text{Cl}_2$  0,01 М соли ДМП—HF (1), 0,01 М соли ДМП + 0,01 М ДМП (2) (3)

при комнатной температуре; для поиска и анализа аддуктов сложного типа, содержащих более одной Н-связи, были получены спектры с избытком ДМП. В области  $2750 \text{ cm}^{-1}$  (рис. 3) регистрируется широкая, интенсивная полоса, которую возможно рассматривать как принадлежащую валентному колебанию протона в связи  $\nu_{as}\text{NH}^+$  катиона ДМП. Появляется полоса деформационного колебания при  $1606 \text{ cm}^{-1}$ , соответствующая смещенной полосе  $1576 \text{ cm}^{-1}$  ДМП. Одновременно при использованных концентрациях в спектре наблюдается поглощение в области  $3300 \text{ cm}^{-1}$ , характерное для молекулярного комплекса. Таким образом, экспериментальные данные не позволяют в этом случае сделать однозначные выводы в пользу молекулярного или ионного строения системы. В спектре раствора с избытком ДМП появляется полоса колебаний  $\nu\text{NH}$  межмолекулярной Н-связи  $\text{NH...N}$  (частота  $\nu\text{NH}$  димера ДМП расположена в той же области.) Это, по нашему мнению, может свидетельствовать об образовании и в этом случае комплекса более сложного состава 2:1, содержащего две молекулы ДМП и одну молекулу HF.

#### КВАНТОВО-ХИМИЧЕСКИЕ РАСЧЕТЫ СТРУКТУРЫ СОЛЕЙ АЗО-СОЕДИНЕНИЙ С ГАЛОИДОВОРОДАМИ

Квантово-химический расчет строения продуктов взаимодействия изученных азотных оснований с ННал позволил прийти к более однозначным выводам об их структуре. Так, при расчете системы ДМП—HF был получен только бимолекулярный комплекс с длиной связи  $R(\text{HF}) = 0,96 \text{ \AA}$ , что позволяет сделать вывод об образовании в этом случае прочных комплексов молекулярного типа без перехода протона.

Геометрия данного комплекса представлена на рис. 4, 1, а в табл. 1 приведены основные структурные параметры системы. Получить ионную конфигурацию комплекса не удалось при использовании в расчете различных методов: RHF/6-31G\*\*, B3LYP/6-31G\*\* и MP2/6-31G. Результаты не меняются при выборе в качестве начальной конфигурации для оптимизации как ионной, так и молекулярной структуры комплекса. Таким образом, в случае системы ДМП—HF квантово-химические расчеты позволяют при анализе экспериментальных спектров отдать предпочтение не ионно-парной структуре, а комплексу с молекулярной Н-связью. Мы полагаем, что отрыву и переходу протона по Н-связи в системе ДМП—HF препятствует существенно более высокие значения [21] энергии диссоциации одного из наиболее сильных доноров прото-

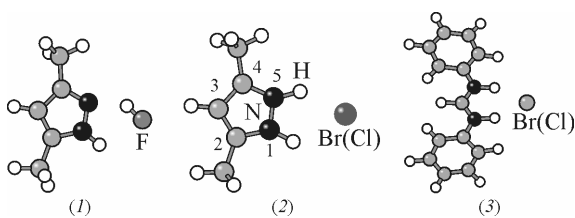


Рис. 4. Рассчитанная (B3LYP/6-31G\*\*) геометрия структур ДМП—HF (1) и ДМП—HBr (2)

Таблица 1

Геометрические параметры структур ДМП—HF и ДМП—HBr (B3LYP/6-31G\*\*)

Параметр, Å, град.	ДМП—HF	ДМП—HBr	Параметр, Å, град.	ДМП—HF	ДМП—HBr
$R(\text{HX})$	0,96	2,03	$R(\text{NH})$	1,01	1,03
$R(\text{N} \dots \text{HX})$	1,71	1,09	$R(\text{NH} \dots \text{X})$	2,2	2,36
$R(\text{N} \dots \text{XH})$	2,55	3,93	$R(\text{HN} \dots \text{X})$	2,73	3,04
$\angle \text{N} \dots \text{HX}$	144	140	$\angle \text{NH} \dots \text{X}$	111	120

на HF ( $D_{298} = 135,3$  ккал) в сравнении с HCl и HBr (103,1 и 87,6 ккал соответственно). При переходе от изолированной системы к раствору под влиянием окружающей среды возможно образование определенного количества связанных Н-связью ионных пар, что может проявляться в спектрах системы. Но в нашем случае учет влияния растворителя на уровне B3LYP/6-31G\*\* с использованием модели Томаси не приводит к образованию комплекса ионного типа.

При расчете структуры ДМП—HBr удалось достичь большего согласия теоретических результатов с экспериментом. Расчет комплекса ДМП—HBr был выполнен несколькими выше указанными методами в базисе 6-31G\*\*. Для данной системы показана возможность существования комплекса как молекулярной, так и ионной структуры. При этом минимум, соответствующий ионной структуре (см. рис. 4, 2), имеет существенно большую глубину, т.е. протон переходит к ДМП и образуется катион диметилпиразолия. Так, использование метода RHF/6-31G\*\* при расчете оптимизированной геометрии дает два минимума — для молекулярной и ионной структур — с разницей энергии  $\Delta E = 17,6$  кДж/моль, причем энергетически более выгодной является структура ионной пары ДМП· $\text{H}^+ \dots \text{Br}^-$ . Подобный же результат дал расчет методом MP2, при этом разность глубин минимумов составляет 6 кДж/моль. Расчет методом B3LYP/6-31G\*\* (даже без учета влияния полярности растворителя) дает на поверхности потенциальной энергии только один минимум, соответствующий ионной конфигурации. Таким образом, результаты расчета методом B3LYP наиболее соответствуют экспериментальным данным: комплекс ДМП—HBr имеет ионную структуру с переходом протона. Такая структура не имеет оси симметрии  $C_2$  из-за несимметричного расположения групп  $\text{CH}_3$ . Энергия системы с симметричным положением метильных групп оказывается выше, чем в случае антисимметричного положения этих групп. Поэтому в качестве равновесной геометрии комплекса нами была выбрана геометрия с несимметричным положением групп  $\text{CH}_3$ . Основные параметры структуры ДМП—HBr представлены в табл. 1.

Введение ангармонических поправок в квантово-химические расчеты подтвердило сделанные выводы о структуре ионных пар с переходом протона. Выполненный для системы ДМП—HBr расчет дал следующие частоты симметричного валентного колебания протона в Н-связи  $\text{NH}^+ \dots \text{Br}^-$  (экспериментальное значение  $3050 \text{ см}^{-1}$ ):  $3197 \text{ см}^{-1}$  (расчет в гармоническом приближении),  $3015 \text{ см}^{-1}$  (ангармонический расчет). Видно, что последняя величина заметно лучше соответствует спектроскопическим данным.

При спектроскопическом исследовании нами были обнаружены свидетельства образования кластера 2:1, содержащего две молекулы ДМП и одну HBr. Для проверки возможности устойчивой структуры подобного типа был проведен квантово-химический расчет методами B3LYP/6-31G\*\* и MP2/6-31G. Выполненные вычисления показали, что образующийся аддукт содержит гомосопряженный катион ДМП с протоном, расположенным ближе к одному из атомов пиразола, что характерно для молекулярной связи N—H...N типа. При этом геометрическая структура кластера весьма сходна со строением тримерного самоассоциата ДМП [10, 20]. Это согласуется с тем, что частота  $3130 \text{ см}^{-1}$  молекулярного ДМП, вовлеченного в подобный комплекс, значительно ниже частоты колебания  $\nu\text{NH}$  мономера ДМП и близка к частоте колебания Н-связи в тримере ДМП.

Квантово-химический расчет системы ДФФА—HCl подтвердил выводы, сделанные из ИК спектров, о ионной структуре водородно-связанного аддукта с переходом протона к атому азо-

Т а б л и ц а 2

Частоты взаимодействующих мод комплексов ДМП ( $\text{см}^{-1}$ )

Комплекс	Мода	Гармонический расчет	Ангармонический расчет	
			1D*	2D
$\text{ДМП}\cdot\text{H}^+\dots\text{Br}^-$	$\nu_{\text{as}}\text{NH}^+\dots\text{Br}^-$	2517	2300	2100
	$\delta \text{ NH}$	870	881	840
	$2 \delta \text{ NH}$	1740	1748	1660

\* Приведены данные результатов одномерного и двумерного расчета мод.

та ДФФА. Рассчитанные величины геометрических параметров H-связи составляют в этом случае  $R(\text{NH})$  1,062,  $R(\text{N}\dots\text{Cl})$  2,99,  $R(\text{H}\dots\text{Cl})$  2,00 Å,  $\angle \text{NH}\dots\text{Cl}$  153,9°. В экспериментальном ИК спектре поглощения для данной системы наблюдали широкую полосу поглощения в области от 3300 до 2400  $\text{см}^{-1}$ . Расчет показал, что в этой области лежат две полосы (симметричного и антисимметричного) колебания групп  $\nu\text{NH}$ , в гармоническом приближении их частоты равны 2850 и 2680  $\text{см}^{-1}$ . Из расчета следует, что антисимметричное колебание протонов  $\nu_{\text{as}}\text{NH}$  имеет значительно меньшую интенсивность и оно образует правое крыло регистрируемой полосы.

Ранее было показано [ 10 ], что исследуемые комплексы характеризуются наличием сложных полос, обусловленных влиянием резонанса Ферми  $\nu\text{NH}$  с обертонами низкочастотных колебаний. Результаты расчета таких частот представлены в табл. 2 и иллюстрируют изменения валентных колебательных частот при учете влияния некоторых деформационных колебаний протона в комплексе. При рассмотрении ионной структуры ДМП—НBr наблюдается проявление взаимодействия между двумя сложными колебаниями. Одно из них — валентное колебание протонов H-связи  $\text{NH}^+\dots\text{Br}^-$ , другое — обертон деформационного колебания протонов в плоскости. В этом случае мы обнаруживаем только сильное влияние обертона на полосу валентного колебания. Частота валентного колебания  $\nu_{\text{as}}\text{NH}^+\dots\text{Br}^-$  при переходе от простого одномерного ангармонического расчета к расчету с учетом взаимодействия мод уменьшается на 217 и 417  $\text{см}^{-1}$  по сравнению с гармонической частотой. На обертоне деформационного колебания взаимодействие мод проявляется не так сильно, частота уменьшается всего на 88  $\text{см}^{-1}$  по сравнению с 220  $\text{см}^{-1}$  в случае комплекса ДМП—ТФУК [ 10 ].

## ВЫВОДЫ

Полученные спектроскопические данные и результаты квантово-механических расчетов свидетельствуют, что при взаимодействии диметилпиразола и дифенилформамидина с галоидводородами HF, HCl и HBr в растворе образуются аддукты с H-связью протона молекулы HHal с основным атомом N азосоединения. Показано, что случае HCl либо HBr имеет место переход протона по водородному мостику с образованием ионной пары  $\text{NH}^+\dots\text{Hal}^-$ ; для структуры ДМП—HF убедительных доказательств перехода протона и образования анион-катионной пары не обнаружено, и в растворе превалируют комплексы с молекулярной H-связью N...HF. Рассчитаны геометрические характеристики образующихся структур. При увеличении концентрации азотного основания в растворе экспериментально доказано образование тримеров, содержащих две молекулы азосоединения и одну молекулу HHal, и определена их структура.

Работа выполнена при финансовой поддержке Программы Министерства образования и науки РФ "Развитие научного потенциала высшей школы на 2009—2010 г.", проект 2.1.1/640 (11.2.76.2009).

## СПИСОК ЛИТЕРАТУРЫ

1. *Archer E.A., Gong H.H., Krische M.J.* // Tetrahedron. – 2001. – **57**. – P. 1139.
2. *Timmerman P., Prins L.J.* // Europ. J. Org. Chem. – 2001. – **17**. – P. 3191.
3. *Насибуллин Р.С., Ремизов А.Б.* // Хим.-фарм. журн. – 1991. – № 12. – С. 15.
4. *Castaneda J.P., Denisov G.S., Kucherov S.Yu. et al.* // J. Mol. Struct. – 2003. – **660**. – P. 25.
5. *Klein O., Aguilar-Parrilla F., Lopez J.M. et al.* // J. Amer. Chem. Soc. – 2004. – **126**, N 37. – P. 11718.
6. *Бурейко С.Ф., Голубев Н.С., Денисов Г.С. и др.* // Журн. общей химии. – 2006. – **75**, N 11. – С. 1907.  
*Bureiko S.F., Golubev N.S., Denisov G.S. et al.* // Rus. J. General Chem. – 2006. – **75**, N 11. – P. 1821.
7. *Anulewich R., Wawer I., Krygowski T.M. et al.* // J. Amer. Chem. Soc. – 1997. – **119**, N 27. – P. 12223.
8. *Bureiko S.F., Golubev N.S., Kucherov S.Yu., Shurukhina A.V.* // J. Mol. Struct. – 2007. – **844/845**. – P. 70.
9. *Бурейко С.Ф., Колль А., Пиеславска М.* // Журн. структур. химии. – 2002. – **43**, № 3. – С. 446.  
*Bureiko S.F., Koll A., Przeslawska M.* // J. Struct. Chem. – 2002. – **43**, N 3. – P. 412.
10. *Бурейко С.Ф., Кучеров С.Ю.* // Журн. структур. химии. – 2009. – **50**, № 4. – С. 739.  
*Bureiko S.F., Kucherov S.Yu.* // J. Struct. Chem. – 2009. – **50**, N 4. – P. 712.
11. *Chenskaya T.B., Berghahn M. et al.* // J. Mol. Struct. – 2004. – **700**. – P. 157.
12. *Claramunt R.M., Lopez C., Garcia M.A. et al.* // New J. Chem. – 2003. – **27**, N 4. – P. 734.
13. *Foces-Foces C., Infantes L.* // J. Mol. Struct. – 1997. – **415**. – P. 81.
14. *Lee C., Yang W., Parr R.G.* // Phys. Rev. B. – 1988. – **37**, N 2. – P. 785.
15. *Becke A.D.* // Phys. Rev. A. – 1988. – **38**, N 6. – P. 3098.
16. *Onsager L.* // J. Amer. Chem. Soc. – 1936. – **58**, N 8. – P. 1486.
17. *Wong M.W., Frisch M.J., Wiberg K.B.* // J. Amer. Chem. Soc. – 1991. – **113**, N 13. – P. 4776.
18. *Bulychev V.P., Grigoriev I.M., Gromova E.I., Tokhadze K.G.* // Phys. Chem. Chem. Phys. – 2005. – **7**. – P. 2266.
19. *Бурейко С.Ф., Кучеров С.Ю.* // Вестник СПбГУ, сер. 4. – 2006. – № 2. – С. 10.
20. *Бурейко С.Ф., Кучеров С.Ю.* // Оптика и спектр. – 2010. – **109**, № 6. – С. 941.  
*Bureiko S.F., Kucherov S.Yu.* // Opt. Spectr. – 2010. – **109**, N 6. – P. 1117.
21. *Веденеев В.Н., Гурвич Л.В., Кондратьев В.Н. и др.* Энергии разрыва химических связей. Потенциалы ионизации и сродство к электрону. – М.: Изд-во АН СССР, 1962.